

Lecture 6

Microfabrication

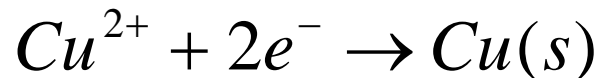
– Wafer-Level Processes (IV)

- Wafer-Level Processes
 - Thin-Film Deposition
 - Electrodeposition
 - Additives
 - Gold, Nickel, Copper, Ni-Fe
 - Electrodeposited Photoresists
 - Electrodeposition Mechanisms
 - DC and Pulsed Electroplating
 - Spin Casting
 - Sol-Gel Deposition
 - Thin Film Stress

Electrodeposition

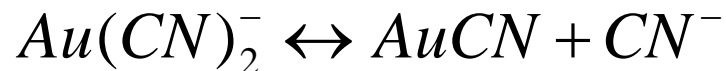
- 간단한 실험장치로 막을 올릴 수 있는 기술.
- 막(금속)을 올리고 싶은 기판에 음의 전위를 가하고 상대편 전극(백금)에 양의 전위를 가한다.
- 도금액은 원하는 금속이온의 reducible form을 갖고 있다.
- 음의 전위를 갖는 표면에서 전자가 공급되며 금속이온은 표면에서 환원되고, 금속이 형성된다.
- Au, Ag, Cu, Ni, Pt, Pd, 기타 여러 금속들이 전해도금 된다.
- 환원과정

(1) One-step reduction (Copper sulfate solution)

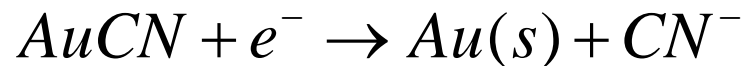


(2) Two-step reduction (Gold cyanide solution)

a) Gold cyanide ion과 neutral, reducible species간에 평형을 이룸.

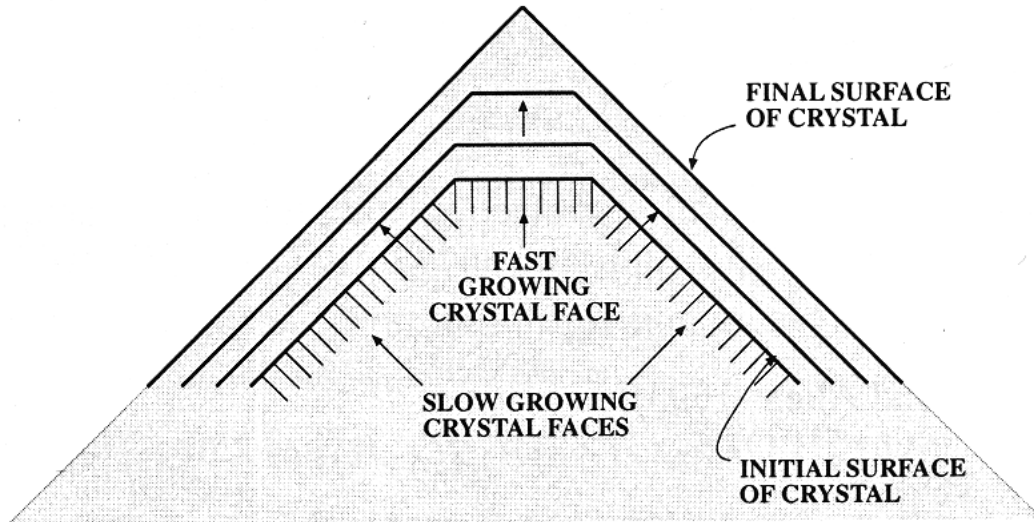


b) A slow charge transfer reaction.



Additives

- 전해도금에서도 비등방성 습식 식각과 마찬가지로 빠른 성장을 보이는 면은 시간이 지남에 따라 사라진다.



- **Morphology** : 전류 밀도의 크기나 첨가제에 의해 영향을 받는다.
- **Grain refiners, hardeners, brighteners** : 입자를 곱게 하고 경도를 증가시키고, 광택을 나게 한다.
- **Conducting salts** : 반응과는 무관하나, 용액의 전도도를 올려서 용액에서의 전압강하를 줄이고 기판 계면에서 전압강하를 증가시킨다.
- **Surfactants** : 두께 및 morphology의 균일성 증가.

Gold, Nickel and Copper

- Gold (Andricacos, et al. (1977))

Potassium gold cyanide (dicyanoaurate) ($\text{KAu}(\text{CN})_2$)	20 g/l
Potassium citrate ($\text{K}_3\text{C}_6\text{H}_5\text{O}_7 \cdot \text{H}_2\text{O}$)	150 g/l
Potassium phosphate (dibasic) ($\text{HK}_2\text{O}_4\text{P}$)	40 g/l

(used with a current density of 100 mA/cm²)

- Nickel (Andricacos, et al. (1977))

Nickel sulfate ($\text{NiSO}_4 \cdot 6\text{H}_2\text{O}$)	330 g/l
Nickel chloride ($\text{NiCl}_2 \cdot 6\text{H}_2\text{O}$)	45 g/l
Boric acid (H_3BO_3)	38 g/l

(used at 60 °C with a current density of 100 mA/cm²)

- Copper (Frazier and Allen (1993))

Copper sulfate ($\text{CuSO}_4 \cdot 5\text{H}_2\text{O}$)	120 g/l
Sulfuric acid (H_2SO_4)	100 g/l

(used with a current density of 10 mA/cm²)

Nickel - Iron

- A. B. Frazier, J MEMS, Vol.2, No.2, pp.87-94, 1993.

- Nickel sulfate ($\text{NiSO}_4 \cdot 6\text{H}_2\text{O}$)	200 g/l
Nickel chloride ($\text{NiCl}_2 \cdot 6\text{H}_2\text{O}$)	5 g/l
Ferrous sulfate ($\text{FeSO}_4 \cdot 7\text{H}_2\text{O}$)	8 g/l
Boric acid (H_3BO_3)	25 g/l
Sodium saccharin ($\text{C}_7\text{H}_4\text{NNaO}_3\text{S} \cdot 2\text{H}_2\text{O}$)	3 g/l
Sulfuric acid (H_2SO_4) to bring the pH to 2.5	

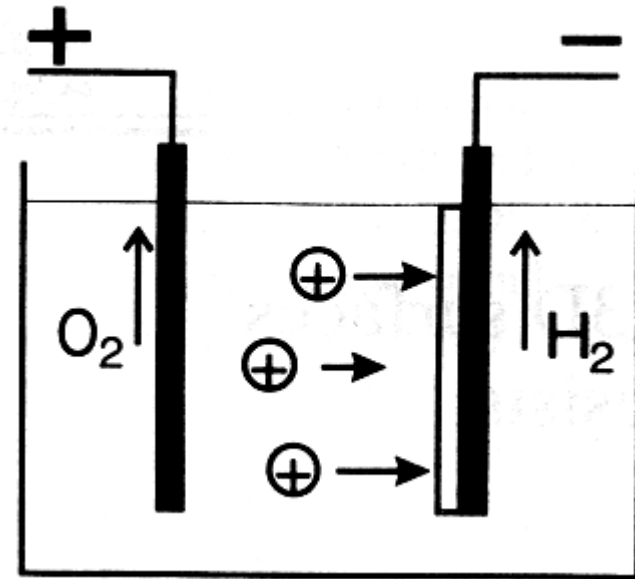
(used with a current density of 5 to 10 mA/cm²)

- 양극으로 99.9 % nickel foil 사용 (7 cm × 10 cm).
- 상온에서 10 mA/cm² 의 전류밀도.
- 0.2 ~ 0.3 μm/min의 증착율.

(Note that other Ni-Fe, or Permalloy™ electroplating references include Liu, et al. (1995), Castellani, et al. (1978), Anderson and Grove (1981), Komaki (1993), and Grande and Talbot (1993).)

Electrodeposited Photoresists

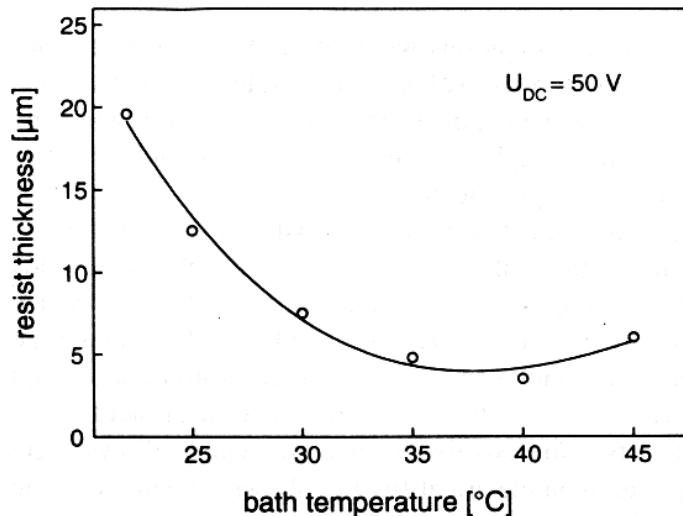
- P. Kersten, *Sensors and Actuators, A51*, pp.51-54, 1995.
- Negative electrodepositable photoresist (2100 ED Shipley) 사용, 365 nm에 반응.
- Photoresist : water-based emulsion with a solid content of around 10 %.
- Solid : stable organic particles, 100 nm in size and soluble in water.
- Micelle : a polymer, a monomer for crosslinking, photoinitiators and contrast-enhancing dye.
- 산에서 micelles는 양전하를 띄게 되어 음극으로 몰려간다.
- 전기분해가 일어나고 음극 주변에는 알칼리성이 된다.
- Micelles는 산에서만 안정하므로 음극 주변에서는 알칼리성에 의해서 불안정하게 되고 polymer는 음극에 덮히기 시작한다.
- Photoresist가 표면에 전부 덮이면 표면이 절연되어 deposition이 멈춘다.



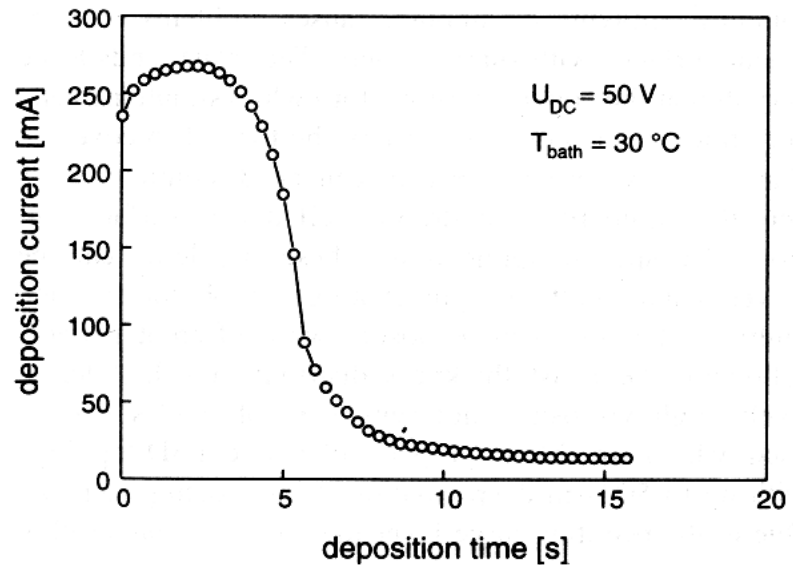
Schematic drawing of the electrodeposition of photoresist.

Experimental Set-up

- Continuous ultrafiltration이 권장됨.
- Polyethylene beaker에 resist를 담그고 물 중탕으로 데운다.
- 양극으로 stainless steel을 사용하고 기판을 75 mm 떨어뜨려 놓는다.
- 진동을 계속 가해서 기포를 제거한다.
- Photoresist 두께는 bath temperature와 인가 전압에 따라 결정.
- 40 °C에서 4 μm 정도 두께를 얻는다.
- 50 V에서 처음에는 260 mA가 흐르다가 10초 후에는 20 mA로 줄어서 deposition이 멈춘다.



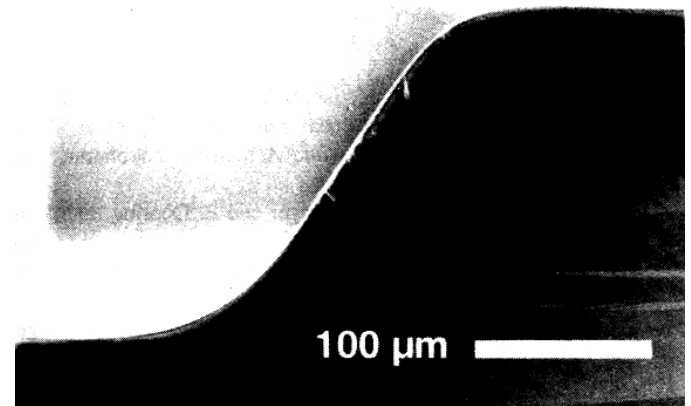
Photoresist thickness versus emulsion bath temperature.



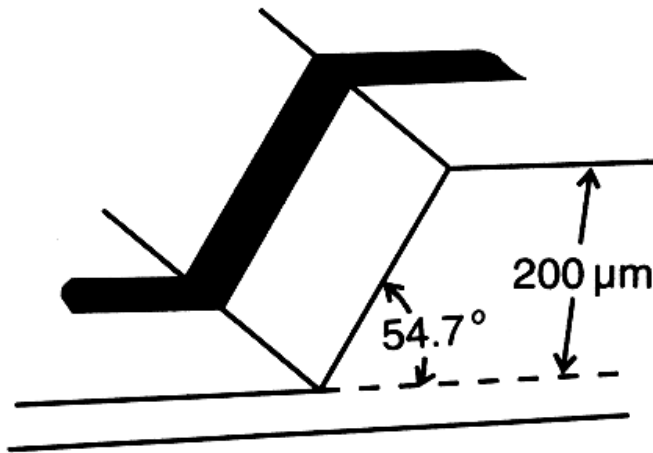
Deposition current versus time during the deposition process

Experimental Results

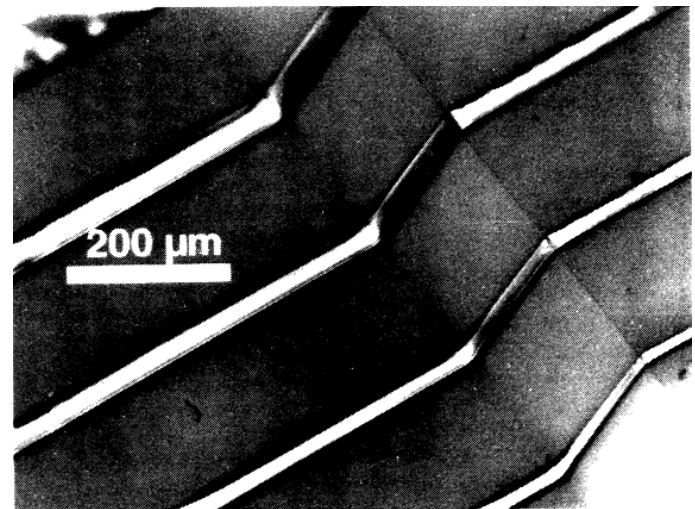
- Prebake : convection oven 50 °C에서 15분.
- 200 μm 단차가 있는 경우 최소 선폭으로 13 μm 가 얻어진다.
- Developer : 40 °C에서 Shipley 2005 사용.
7 μm 두께 현상에 1분 걸림.



Cross-section of the as-deposited photoresist.



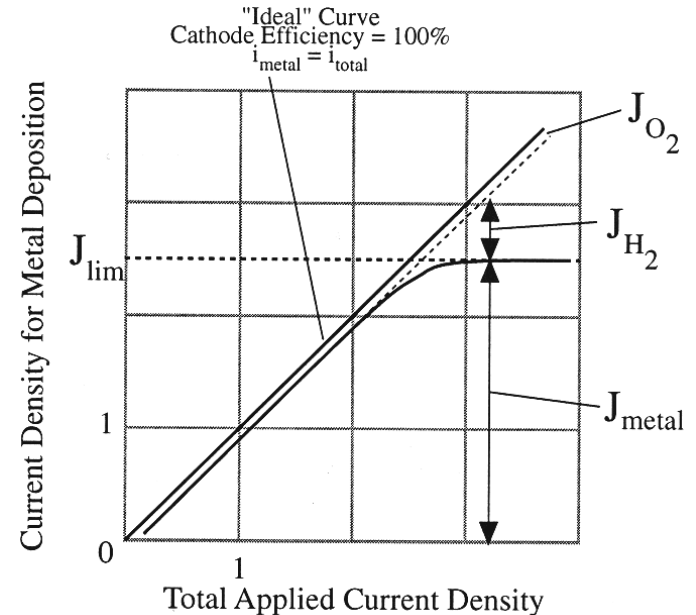
Schematic drawing of the test samples.



SEM image of the test sample after development.

Electrodeposition Mechanisms

- **Electrochemical mechanism**은 포화하는 **J-V** 특성으로 표현된다.
- 어떤 인가 전압 이상에서는 금속을 도금하는 전류는 J_{lim} 에서 포화한다.
- 이 이상으로 전압을 증가 시켜 전류를 크게 하더라도 여분의 전류는 물의 전기분해 등의 바람직하지 못한 반응만을 일으킨다.
- 이런 과도한 전위를 **overpotential**이라 한다.
- **Overpotential**이 크면, 다공질 또는 “검은” 금속이 형성된다.
- 따라서, 주어진 온도에 적절한 전류 밀도의 크기가 결정되며, 증착율의 대소에 따라 전류 밀도의 크기가 결정되는 것만이 아니라 금속의 **morphology**도 고려해야 한다.



Normalized plot showing that of the total applied current density, only a fraction (this fraction, expressed as a percentage, is referred to as the “cathode efficiency”) is available for metal ion reduction, with the balance being consumed by unwanted reactions such as water hydrolysis. Modified after Andricacos, et. Al. (1977).

DC and Pulsed Electroplating

- DC electroplating : DC 전압원이나 정전류원을 사용.
- Pulsed electroplating : 전류를 정해진 duty cycle에 따라 on/off로 흘려 줌.
- Gold의 경우 : 1 kHz의 pulse frequency로 10 % duty cycle 사용.
- DC의 경우와 같은 증착율을 얻기 위해서 peak 전류가 큼.
- Pulse 사이의 시간에 cathode 근방의 반응제가 재충전됨.
계면에서의 반응제 농도를 증가.

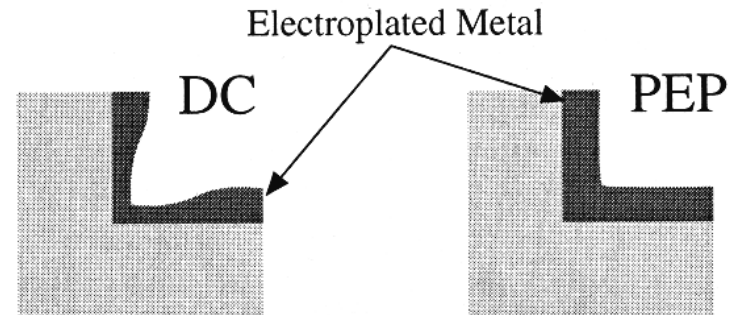
- Pulsed electroplating의 장점.

(1) DC 전류는 존재하는 금속 입자 위에 성장을 촉진하지만, pulse 전류는 새 입자의 nucleation을 촉진 (더 고운 입자가 만들어진다).

(2) Duty cycle을 조절함으로써 stress 조절이 가능.

(3) Pulsed electroplating으로 crystal orientation 조절이 가능해서 막의 전기적이거나 마모 성능을 향상시킨다.

(4) 모서리 등의 두께가 다를 수 있는 곳의 두께를 균일하게 한다.



Illusion of increased throwing power of pulsed electroplating.

Pulsed Electroplating and Agitation

Pulsed electroplating의 단점

- (1) 가스나 organic contaminant를 포함할 수 있다.
- (2) 이론적으로 전류 분포가 덜 균일하다.
그러나 agitation에 의해서 이것은 역전이 된다.

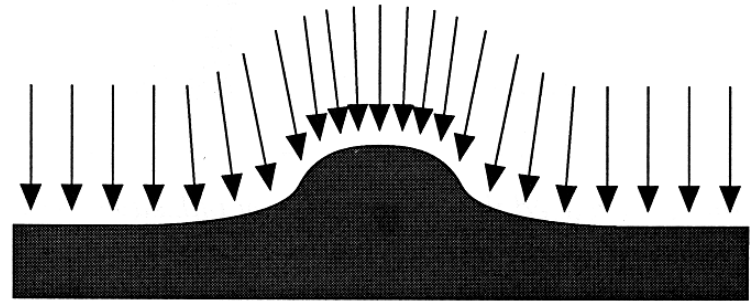
Agitation

- 균일성을 좋게 하고 최대 전류를 증가시킨다.
- 반응제를 cathode 근처로 공급.
- Diffusion-limited effect (“Black” metal layer)가 보이는 경우 유효하다.
- Propeller-type agitation이 이용되기도 한다.

"Black" Metal Films

- 전류밀도가 아주 커서 반응제가 cathode 근처에서 큰 농도 기울기를 보이면 나뭇가지 같은 성장이 일어난다.
- 크게 성장된 결정에 높은 전기장이 걸리고 거기에 다시 도금이 된다.
- 전류밀도가 더욱 증가하면 나뭇가지 구조의 금속은 더욱 고와지고 porous하게 되며 검은 색으로 보인다.
- "Platinum black"은 microelectrode에 도금되고 전기적인 신호를 기록하는 데 쓰인다.
- Microelectrode의 표면적을 늘리고 전기적인 impedance를 1/100로 줄인다.
- 여러 "black" film은 적외선 센서의 적외선 흡수체로 쓰이는데, 그 이유는 효율적으로 incident radiation을 열로 전환하기 때문이다.
- Typical platinum black solution with 30 mA/cm².

Chloroplatinic acid (H ₂ PtCl ₆ (anhydrous))	2 g
Lead acetate (Pb(CH ₂ COOH) ₂ 3H ₂ O)	16 mg
Water	58 ml
- "Black" metal film은 낮은 압력의 질소나 아르곤 분위기에서 증착에 의해서도 형성된다. 10 Torr의 압력에서 금속원자는 background gas에 의해 산란하고 서로 엉겨서 porous "snow-like"층을 형성한다.



Illusion of preferential electroplating at high field points. After Bockris and Reddy(1970).

Spin Casting

- The material to be deposited, typically a polymer or chemical precursor to a polymer, is dissolved in a suitable solvent.
- Solution is applied to the wafer, and the wafer is spun at high speed.
- Centrifugal forces, in combination with the surface tension of the solution and the viscosity of the solution, spread the film to a uniform thickness.
- The spinning also allows for some of the solvent to evaporate, which increases the film viscosity.
- After spinning, baking in an oven is used to remove the remaining solvent and, depending on the material, to perform further chemical reactions.

(continued)

Spin Casting

- Spinning is the standard method for depositing photoresist, a photosensitive polymer layer used in photolithography.
- It can also be used to deposit polyimide films, which are insulating polymers that can withstand temperatures to about 400 °C.
- Polyimide: 내열성 고분자
- The deposited polymer is a polyamic acid.
- The post-spinning bake removes solvent and also converts the amic acid to an imide, with the loss of a water molecule.
- Some polyimides are also photosensitive, and can be patterned lithographically and then used as molds for plating of HARM (High Aspect Ratio MEMS) structures.

Sol-Gel Deposition

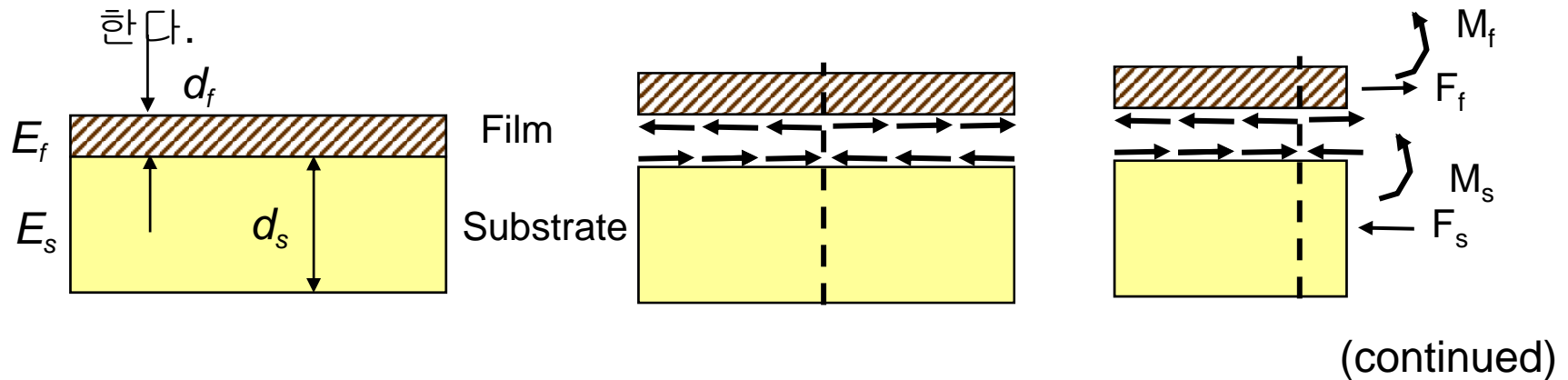
- Sol: 액체를 분산매로 하고 고체를 분산 입자로 하는 colloid.
- 분산입자의 크기: 1 – 500 nm.
- Gel: Sol 이 젤리 상태로 고화(固化)한 것
- Some materials, especially various oxides, can be formed from the sintering of a deposited gel layer that contains a suitable precursor.
- An example is a partially polymerized gel of organosiloxane compounds that can be dissolved in a solvent and spin-cast onto the wafer.
- Subsequent baking crosslinks the siloxane with the removal of the volatile organic moiety, and further densifies the siloxane into silicon dioxide.
- Spin-on glasses are examples of silicon dioxide deposited in this manner.
- PZT(lead zirconate titanate) can be deposited by this method.

Thin Film Stress

- A major problem with deposited thin films is the control of the state of mechanical stress.
- It is sufficient to state that **virtually all deposited thin films have some degree of in-plane stress** and that **the stress distribution is sensitive to processing conditions, and to subsequent thermal history such as post-deposition anneals.**
- Thermally grown silicon dioxide also is stressed.
- Thin-film stresses can lead to curvature of the wafer itself and to warpage and bending of suspended structures.

Stoney Formula

- 1909년 Stoney 에 의해 막의 스트레스에 대한 해석적인 접근이 있었음.
- Stoney가 제시한 막의 스트레스에 관한 해석에 있어 가장 기본적인 개념은 기판과 그 위에 형성된 막의 구조가 갖는 내부 응력이 외 부 변형으로 나타나므로, 변형의 정도(곡률의 변화)를 측정함으로써 역으로 그 응력을 계산해 낸다는 것이다.
- 이중 층 기판과 막의 구조에서는 계면에서 격자간 어긋남이나 서로 다른 열 팽창률, 막 성장의 메커니즘 등으로 인해 부정합력(mismatch force)가 발생



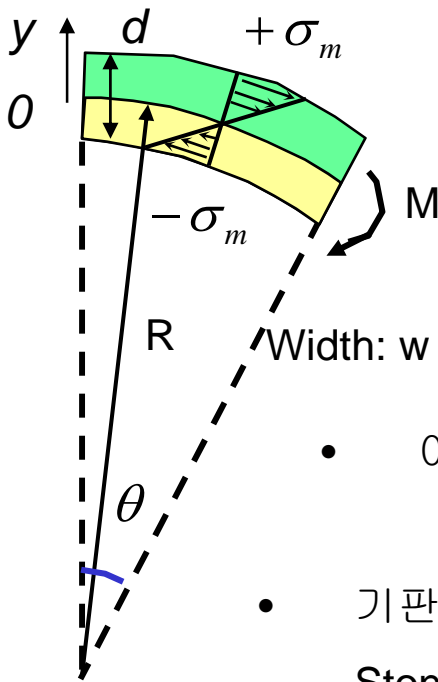
Stony Formula

- 기판의 휨에 영향을 미치는 모멘트의 식

$$((d_f + d_s) / 2) F_f = M_f + M_s$$

- 스트레스가 힘의 중심으로부터 선형적으로 존재한다고 하면,

$$\sigma_m = E \left\{ \frac{(R \pm d/2)\theta - R\theta}{R\theta} \right\} = \pm \frac{Ed}{2R}$$



- 이러한 스트레스에 해당하는 빔의 휨 모멘트는

$$M = 2 \int_0^{d/2} \sigma_m w \left(\frac{y}{d/2} \right) y dy = \frac{\sigma_m d^2 w}{6} = \frac{Ed^3 w}{12R}$$

- 이 식을 각 층에 적용하면

$$M_f = E_f d_f^3 w / 12R, \quad M_s = E_s d_s^3 w / 12R$$

- 이 식을 제일 위의 식에 대입하고,

$$((d_f + d_s) / 2) F_f = [E_f d_f^3 + E_s d_s^3] w / 12R$$

- 기판이 막보다 아주 두껍다고 하면

$$\sigma_f = \frac{F_f}{d_f w} = \frac{1}{6R} \frac{E_s d_s^2}{d_f}$$

Stony formula 가 얻어진다.